

# Synteza kopolimerów polistyren-*b*-poliuretan-*b*-polistyren metodą polimeryzacji ARGET ATRP

## Cz. II. Struktura chemiczna, właściwości termiczne i powierzchniowe

Piotr Król<sup>1)</sup>, Paweł Chmielarz<sup>1), \*</sup>

DOI: dx.doi.org/10.14314/polimery.2015.377

**Streszczenie:** Scharakteryzowano strukturę chemiczną oraz właściwości termiczne i powierzchniowe zsyntetyzowanego uprzednio [1] makroinicjatora bromouretanowego (MBP-PUR-MBP) i kopolimeru uretanowo-styrenowego. Wyniki badań spektroskopowych (FT-IR, <sup>1</sup>H i <sup>13</sup>C NMR) i analiz termicznych (DSC, TGA) potwierdzają oczekiwany strukturę chemiczną otrzymanych związków. Badania właściwości powierzchniowych (chropowatości, kąta zwilżania, SEP) folii polimerowych wytworzonych z próbek kopolimerów pobieranych w kolejnych etapach polimeryzacji wskazują, poprzez zarejestrowany wzrost hydrofobowości, na obecność blokowych segmentów pochodzących od PS.

**Słowa kluczowe:** kopolimery uretanowo-styrenowe, ARGET ATRP, struktura chemiczna, spektroskopia, FT-IR, NMR, kąt zwilżania, SEP, mikroskopia konfokalna, właściwości termiczne, DSC, TGA.

### Synthesis of polystyrene-*b*-polyurethane-*b*-polystyrene copolymers through ARGET ATRP polymerization method. Part II. Chemical structure, thermal and surface properties

**Abstract:** The chemical structures of the synthesized previously [1] bromourethane macroinitiator (MBP-PUR-MBP) and urethane-styrene copolymer were determined using FT-IR, <sup>1</sup>H and <sup>13</sup>C NMR spectral methods and confirmed by the results of thermal analysis (DSC and TGA). The studies of surface properties (roughness, contact angle and SFE) of polymer films prepared from these copolymers indicate, by an increase in hydrophobicity, the presence of block segments derived from PS.

**Keywords:** urethane-styrene copolymers, ARGET ATRP, chemical structure, FT-IR, NMR, spectroscopy, contact angle, SFE, confocal microscopy, thermal properties, DSC, TGA.

W pierwszej części pracy [1] opisano syntezę kopolimerów blokowych: polistyren-*b*-poliuretan-*b*-polistyren (PS-*b*-PUR-*b*-PS), po raz pierwszy metodą ARGET ATRP, z wykorzystaniem specjalnie do tego celu wytworzzonego makroinicjatora bromouretanowego (MBP-PUR-MBP) jako produktu przejściowego reagującego ze styrenem w obecności katalizatora — CuBr<sub>2</sub> oraz N,N,N',N'',N''-pentametylodietylenotriaminy (PMDETA) — pełniącej rolę czynnika kompleksującego.

Odmiana klasycznej metody polimeryzacji rodnikowej z przeniesieniem atomu (ATRP), w której użyte aktywatory są regenerowane zgodnie z mechanizmem przeniesienia elektronu (ARGET) pozwala na kontrolę długości bloków poszczególnych homopolimerów w kopolimerze, co wpływa na jego właściwości.

Metodę ATRP z powodzeniem stosowano do polimeryzacji monomerów niepolarnych, takich jak styren i metakrylan metylu (MMA) [2–4] oraz trójblokowych kopolimerów uretanowo-metakrylowych PMMA-*b*-PUR-*b*-PMMA, wykorzystywanych m.in. jako nośniki leków

w postaci odpowiednio ukształtowanych struktur micelnarnych [5] oraz jako materiały do wytwarzania implantów chirurgicznych [6].

Ze względu na zawartość hydrofobowych segmentów PS zsyntetyzowany kopolimer blokowy: polistyren-*b*-poliuretan-*b*-polistyren (PS-*b*-PUR-*b*-PS) [1] powinien być bardziej hydrofobowy niż klasyczne elastomery uretanowe [7, 8] i kopolimery uretanowo-metakrylowe otrzymane z analogicznych surowców [2, 8–10].

### CZĘŚĆ DOŚWIADCZALNA

#### Materiały

Makroinicjator bromouretanowy (MBP-PUR-MBP) [1], próbki (K1–K6) kopolimerów uretanowo-styreno-

<sup>1)</sup> Politechnika Rzeszowska, Wydział Chemiczny, Al. Powstańców Warszawy 6, 35-959 Rzeszów.

\* Autor do korespondencji; e-mail: p\_chmiel@prz.edu.pl

wych PS-*b*-PUR-*b*-PS pobierane z mieszaniny reakcyjnej w odstępach 3, 6, 12, 18, 24 i 30 h zawierające, odpowiednio, ok. 12–14 %, 21–22 %, 36–37 %, 45–46 %, 54–55 % i 58–59 % mol bloków polistyrenowych [1].

Woda dwukrotnie destylowana, dijodometan, aceton (Chempur), formamid (Sigma Aldrich).

W celu otrzymania powłok polimerowych, 50-proc. roztwory kopolimerów w acetacie rozprowadzano po apolarnej powierzchni poli(tetrafluoroetylenu), a następnie suszono w suszarce próżniowej w temp. 80 °C w ciągu 6 h. Wytworzne błony polimerowe kondycjonowano w temp. pokojowej przez 10 dni, po czym zdejmowano je bez zniekształcenia z PTFE, uzyskując folie kopolimerów wykorzystywane w dalszych badaniach.

### Metody badań

— Widma  $^1\text{H}$  i  $^{13}\text{C}$  NMR rejestrowano za pomocą spektrometru FT NMR Bruker Avance 500<sup>II</sup>. Badane próbki makroinicjatora i kopolimerów rozpuszczano w deuterowanym DMSO otrzymując roztwory o stężeniu ok. 0,2 g/dm<sup>3</sup>. Jako wzorzec wewnętrzny stosowano tetrametyllosilan (TMS).

— Widma IR próbek MBP-PUR-MBP i PS-*b*-PUR-*b*-PS (K6) rejestrowano spektrofotometrem Nicolet 6700 FT-IR, z wykorzystaniem metody osłabionego całkowitego odnięcia (ATR), w zakresie liczb falowych 4000–500 cm<sup>-1</sup>.

— Wartości temperatury zeszklenia makroinicjatora i kopolimerów wyznaczano za pomocą skaningowego kalorymetru różnicowego DSC firmy Mettler Toledo typ 822<sup>e</sup>. Do badań pobierano próbki o masie 10–40 mg. Każdą próbkę ogrzewano i chłodzono w zakresie temp.: od -90 °C do 150 °C i od 150 °C do -90 °C, z szybkością 10 deg/min, w atmosferze azotu. W drugim cyklu ogrzewania wyznaczano temperaturę zeszklenia  $T_{g1} < 0$  segmentów giętkich i temperaturę zeszklenia  $T_{g2} > 0$  segmentów sztywnych.

— Analizę termograwimetryczną próbki MBP-PUR-MBP i kopolimerów przeprowadzano za pomocą termowagi TGA/DSC 1 firmy Mettler Toledo, w atmosferze azotu. Pomiary wykonano w zakresie temp. 25–600 °C, stosując szybkość ogrzewania 10 deg/min. Zarejestrowano termogramy TG jako wykresy zależności  $\Delta m/m_0 = f(T)$  oraz ich pochodne DTG jako  $dm/dT = f'(T)$ .

— Strukturę powierzchni kopolimerów oceniano stosując mikroskop konfokalny NanoFocus. Wyznaczano parametry charakteryzujące profile chropowatości: średnią arytmetyczną odchylenia profilu chropowatości ( $R_a$ ) i wysokość chropowatości na podstawie 10 punktów zarejestrowanego profilu chropowatości danej próbki ( $R_z$ ) [11].

Obrazy powierzchni kopolimerów wykonano stosując: obiekty o wymiarach 320 × 320 µm, 50-krotne powiększenie, odległość modułu optycznego od badanej próbki 1 mm. Analizę szorstkości oraz wyznaczenie współczynników  $R_a$  i  $R_z$  przeprowadzono za pomocą programu komputerowego Usurf Analysis Premium.

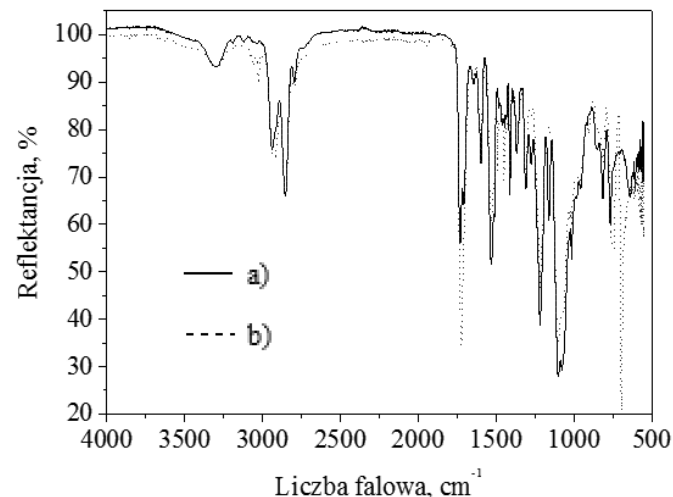
— Oznaczenia wartości kątów zwilżania folii kopolimerów wodą dwukrotnie destylowaną, formamidem i jodometanem przeprowadzono za pomocą goniometru optycznego (firmy Cobrabid-Optica Warszawa), wyposażonego w aparat cyfrowy. Na powierzchni próbek osadzano krople o obj. ok. 0,01 cm<sup>3</sup>. Pomiary wykonywano w temp. 21 ± 1 °C. Wartości kątów zwilżania obliczano za pomocą programu komputerowego KROPLA, na podstawie równań obwiedni kropli i równań stycznych do wyznaczonych krzywych. Na podstawie wartości kątów zwilżania, stosując program komputerowy ENERGIA, obliczono metodami van Ossza-Gooda i Owensa-Wendta [12] swobodną energię powierzchniową [ $SEP$ , mJ/m<sup>2</sup>] folii polimerowych i wartości jej składowych (oddziaływań dalekiego zasięgu, oddziaływań kwasowo-zasadowych oraz oddziaływań polarnych i dyspersyjnych).

### WYNIKI I ICH OMÓWIENIE

#### Struktury chemiczne inicjatora ATRP, makroinicjatora bromouretanowego i kopolimerów trójblokowych

Struktury chemiczne makroinicjatora bromouretanowego MBP-PUR-MBP i przykładowego kopolimeru trójblokowego PS-*b*-PUR-*b*-PS (K6) potwierdzono metodą spektrofotometrii FT-IR (rys. 1).

W widmie makroinicjatora (rys. 1a) zaobserwowano charakterystyczne dla PUR pasma absorpcji, odpowiadające grupom elementów strukturalnych tworzących ugrupowanie uretanowe: pasmo drgań walencyjnych drugorzędowej grupy aminowej N-H przy ok. 3300 cm<sup>-1</sup>; pasmo drgań walencyjnych C=O grupy karbonylowej (tzw. I pasmo amidowe) przy 1730 cm<sup>-1</sup>; pasmo drgań deformacyjnych grupy N-H (tzw. II pasmo amidowe) przy ok. 1530 cm<sup>-1</sup>, pasmo drgań walencyjnych C-N (tzw. III

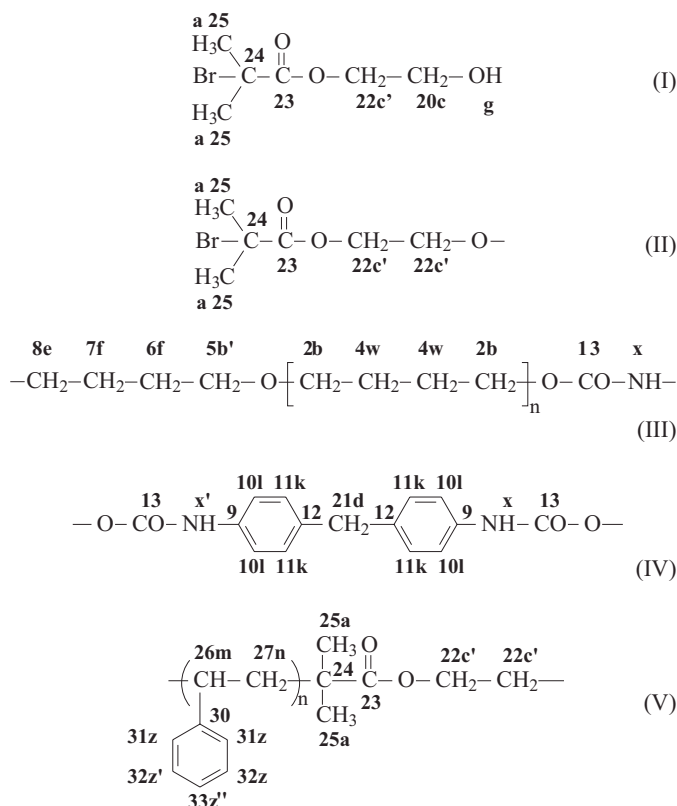


Rys. 1. Widma FT-IR: a) makroinicjatora MBP-PUR-MBP, b) kopolimeru trójblokowego PS-*b*-PUR-*b*-PS (próbka K6)  
Fig. 1. FT-IR spectra of: a) MBP-PUR-MBP macroinitiator, b) PS-*b*-PUR-*b*-PS tri-block copolymer (K6 sample)

pasmo amidowe) przy ok.  $1220-1275\text{ cm}^{-1}$ ; pasmo drgań walencyjnych ugrupowania eterowego C-O-C przy  $1100\text{ cm}^{-1}$ ; pasmo drgań deformacyjnych N-H przy  $915\text{ cm}^{-1}$ . Obecność dodatkowego pasma przy  $1710\text{ cm}^{-1}$  świadczy o występowaniu licznych wewnętrz- i międzycząsteczkowych wiązań wodorowych z udziałem grupy C=O. Widoczne są również pasma drgań walencyjnych grupy C-Br ( $610-645\text{ cm}^{-1}$ ), a także pasma drgań walencyjnych ( $2853-2938\text{ cm}^{-1}$ ) i deformacyjnych ( $1369-1447\text{ cm}^{-1}$ ) wiązań C-H grupy metylenowej oraz pasma drgań walencyjnych ( $1597\text{ cm}^{-1}$ ) i deformacyjnych ( $768-914\text{ cm}^{-1}$ ) wiązań C=C-H w pierścieniach aromatycznych. W widmie FT-IR makroinicjatora (rys. 1a) nie obserwuje się pasma przy  $2272\text{ cm}^{-1}$ , pochodzącego od asymetrycznych drgań walencyjnych grup -NCO, co świadczy o całkowitym przereagowaniu diizocyjanianów na etapie syntezy tego związku [13].

W widmie FT-IR kopolimeru trójblokowego K6 (rys. 1b) występują wyżej wymienione pasma absorpcji charakterystyczne dla PUR. W wyniku wbudowania do łańcucha makroinicjatora segmentów pochodzących od PS, jest widoczny wzrost intensywności pasm drgań walencyjnych ( $2851-2927\text{ cm}^{-1}$ ) i deformacyjnych ( $1369-1447\text{ cm}^{-1}$ ) C-H grup metylenowych PS oraz drgań walencyjnych ( $1599\text{ cm}^{-1}$ ) i deformacyjnych ( $594-916\text{ cm}^{-1}$ ) C=C-H w pierścieniach aromatycznych.

Struktury chemiczne syntetyzowanego bromopropionanu hydroksyetylu (HMB), MBP-PUR-MBP i przykładowego kopolimeru PS-*b*-PUR-*b*-PS potwierdzono dodatkowo za pomocą spektroskopii  $^1\text{H}$  i  $^{13}\text{C}$  NMR. Tabele 1 i 2 przedstawiają szczegółową interpretację tych widm,



natomiaszt wzory (I)-(V) — najbardziej prawdopodobną i zarazem oczekiwana strukturę fragmentów tworzących łańcuchy, odpowiednio, (I) — diolu HMB, (II), (III) — makroinicjatora MBP-PUR-MBP i (IV), (V) — kopolimeru trójblokowego K6.

**T a b e l a 1. Interpretacja widm  $^1\text{H}$  NMR HMB, MBP-PUR-MBP i kopolimeru trójblokowego PS-*b*-PUR-*b*-PS (próbka K6)**

**T a b l e 1. Interpretation of  $^1\text{H}$  NMR spectra of HMB, MBP-PUR-MBP and PS-*b*-PUR-*b*-PS tri-block copolymer (K6 sample)**

Oznaczenie protonów [wzory (I)-(V)]	HMB	MBP-PUR-MBP	PS- <i>b</i> -PUR- <i>b</i> -PS (K6)
	Położenie grupy sygnałów $\delta$ , ppm		
g	2,35	—	—
c	3,82–3,85	—	—
a	1,94–1,95	1,88–1,92	1,88–1,90
c'	4,28–4,30	4,32–4,46	4,32–4,37
x	—	9,50	9,50
l	—	7,32–7,35	7,29–7,33
k	—	6,98–7,01	7,01–7,04
d	—	3,78–3,82	3,78
b'	—	3,60–3,62	3,60
b	—	3,24–3,32	3,24–3,32
x'	—	8,50	8,50
e	—	4,04–4,06	4,05
f	—	1,56–1,68	1,55–1,64
w	—	1,44–1,49	1,44–1,49
m (rr)	—	—	1,45
m (mr)	—	—	1,48–1,52
m (mm)	—	—	1,55
n	—	—	0,9
z	—	—	7,01–7,04
z'	—	—	7,29–7,33
z''	—	—	7,40

Metodami spektroskopii  $^1\text{H}$  i  $^{13}\text{C}$  NMR potwierdzono obecność protonów grup: -OH (g), -CH<sub>2</sub>- (c', c) i -CH<sub>3</sub> (a) oraz atomów węgla grup karbonylowych C=O (23), -CH<sub>2</sub> (22, 20), -CH<sub>3</sub> (25) i węgli IV-rzędowych (24) w cząsteczkę HMB. Widma  $^1\text{H}$  i  $^{13}\text{C}$  NMR makroinicjatora MBP-PUR-MBP potwierdzają występowanie zarówno protonów aromatycznych (l, k), uretanowych (x, x'), -CH<sub>2</sub>- (d, b, w, b', f, e, c'), -CH<sub>3</sub> (a), jak i atomów węgla pierścienia aromatycznego (9–12), grup karbonylowych C=O (23, 13), -CH<sub>2</sub>- (21, 2, 4–8, 22), -CH<sub>3</sub> (25) i IV-rzędowych atomów C (24). W widmie  $^1\text{H}$  NMR makroinicjatora nie zaobserwowano sygnału protonu grupy NH charakterystycznego dla allofanianów przy  $\delta = 10,65\text{ ppm}$ . Także w widmie  $^{13}\text{C}$  NMR makroinicjatora brak jest sygnałów przy  $\delta = 151$  i  $155\text{ ppm}$ , świadczących o obecności grup C=O w allofanianach [14], co potwierdza wysoki stopień uretanizacji izocyjanianów.

**T a b e l a 2. Interpretacja widm  $^{13}\text{C}$  NMR HMB, MBP-PUR-MBP i kopolimeru trójblokowego PS-*b*-PUR-*b*-PS (próbka K6)**

**T a b l e 2. Interpretation of  $^{13}\text{C}$  NMR spectra of HMB, MBP-PUR-MBP and PS-*b*-PUR-*b*-PS tri-block copolymer (K6 sample)**

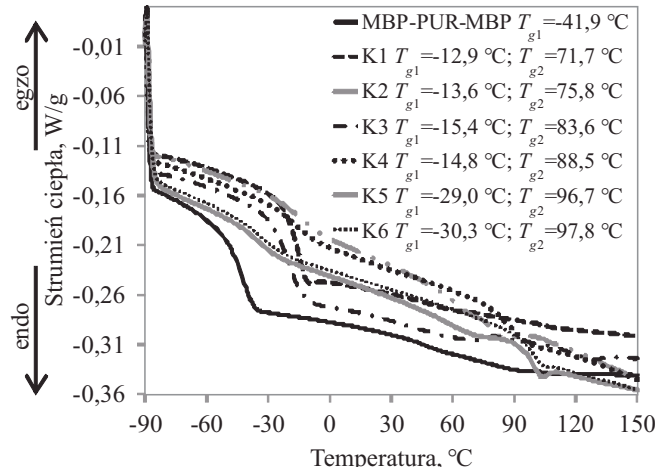
Oznaczenie atomów C [wzory (I)–(V)]	HMB	MBP-PUR-MBP	PS- <i>b</i> -PUR- <i>b</i> -PS (K6)
	Położenie grupy sygnałów $\delta$ , ppm		
25	30,67–30,69	30,10–30,22	31,27
24	55,36–55,85	56,82–57,26	55,65
23	171,47–171,94	170,65–170,84	175,21–177,16
22	60,57–60,75	61,65	59,87
20	67,24–67,41	—	—
21	—	40,00	39,03–40,51
13	—	153,17–153,47	152,78–153,21
9	—	135,22	135,09
10	—	118,17–121,08	118,26–121,09
11	—	126,55–128,71	125,66–126,24
12	—	136,78–137,04	136,78–137,16
2	—	69,61–69,66	69,62–69,46
4	—	26,00	25,98
5	—	67,28	69,33
6	—	25,47	25,28
7	—	25,64	25,68
8	—	63,79–64,06	63,81–64,06
26	—	—	35,96
27	—	—	43,92–44,51
31	—	—	128,98
32	—	—	128,47
33	—	—	125,55
30 (rr)	—	—	136,78
30 (mr)	—	—	137,02
30 (mm)	—	—	137,23

W widmach  $^1\text{H}$  i  $^{13}\text{C}$  NMR kopolimeru K6 stwierdzono występowanie charakterystycznych sygnałów protonów i atomów C, wchodzących w skład struktury makroinicjatora, a także nowych sygnałów protonów grup  $-\text{CH}-$  (m),  $-\text{CH}_2-$  (n),  $=\text{CH}-$  (z, z', z'') oraz atomów C grup  $-\text{CH}-$  (26),  $-\text{CH}_2-$  (27),  $=\text{CH}-$  (31, 32, 33) oraz IV-rzędowych atomów C (30), występujących w PS. Pojawienie się nowych sygnałów w widmach  $^1\text{H}$  i  $^{13}\text{C}$  NMR syntetyzowanego kopolimeru K6 świadczy o trwałym (chemicznym) wbudowaniu segmentów pochodzących z PS do łańcucha makroinicjatora (a dokładniej — o przedłużeniu tego makroinicjatora tymi segmentami).

### Właściwości termiczne

Dane dotyczące struktury i morfologii badanych próbek makroinicjatora i kopolimerów trójblokowych uzyskano analizując ich właściwości termiczne (rys. 2 i 3).

Metodą różnicowej kalorymetrii skaningowej zarejestrowano temperaturę zeszklenia fazy polieterowej dla

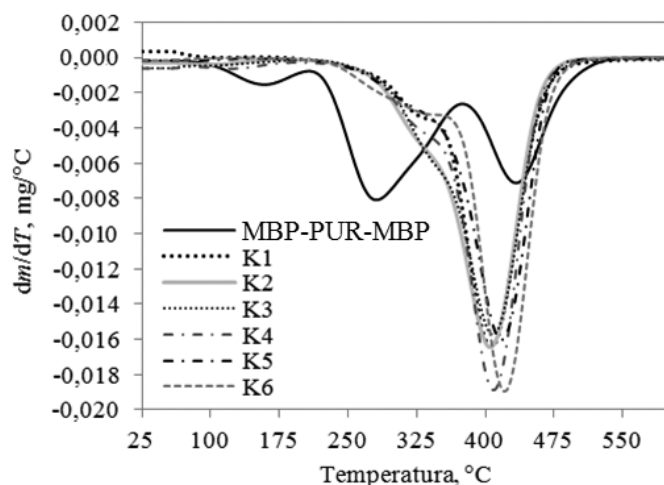


**Rys. 2. Termogramy DSC makroinicjatora MBP-PUR-MBP i kopolimerów trójblokowych (próbka K1, K2, K3, K4, K5 i K6)**

**Fig. 2. DSC thermograms of MBP-PUR-MBP macroinitiator and tri-block copolymers (K1, K2, K3, K4, K5 and K6 samples)**

MBP-PUR-MBP ( $T_{g1} = -41,9$  °C) i kopolimerów PS-*b*-PUR-*b*-PS ( $T_{g1}$  w zakresie od -30,3 do -12,9 °C). Z przebiegu termogramów DSC wynika, że wprowadzenie segmentów PS do łańcucha makroinicjatora poliuretanowego skutkuje pojawieniem się temperatury zeszklenia fazy sztywnej ( $T_{g2}$ ) w zakresie 71,7–97,8 °C, co odpowiada danym literackim [15–17]. Dwa wyraźnie rozdzielone zakresy przejść fazowych związanych z temp. zeszklenia faz giętkich i sztywnych w kopolimerasach uretanowo-styrenowych świadczą o ich budowie blokowej.

Stabilność termiczną MBP-PUR-MBP i próbek kopolimerów uretanowo-styrenowych (K1–K6) pobieranych w kolejnych etapach polimeryzacji oznaczano za pomocą analizy termograwimetrycznej (rys. 3, tabela 3).



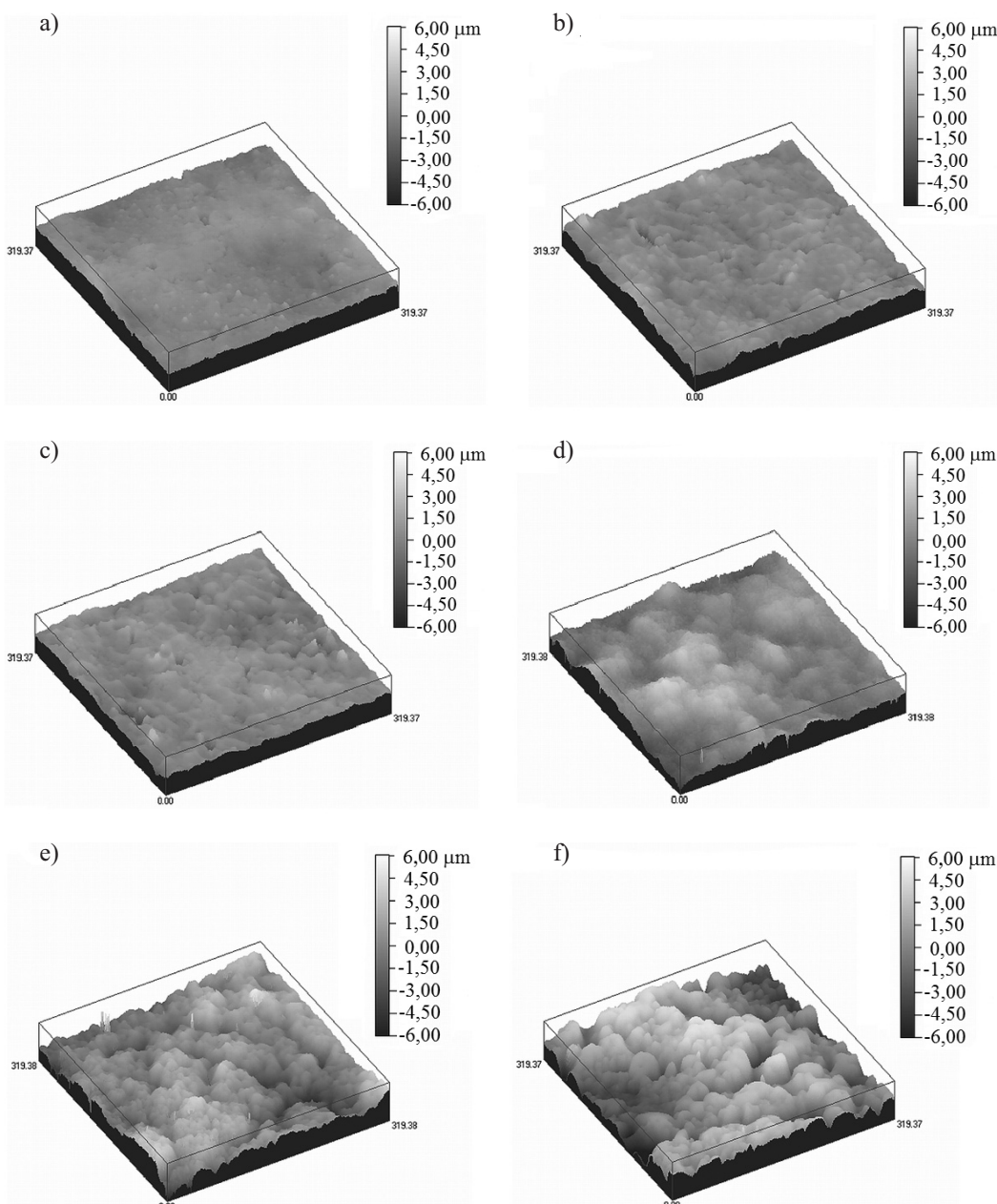
**Rys. 3. Termogramy DTG makroinicjatora MBP-PUR-MBP i kopolimerów trójblokowych (próbka K1, K2, K3, K4, K5 i K6)**

**Fig. 3. DTG thermograms of MBP-PUR-MBP macroinitiator and tri-block copolymers (K1, K2, K3, K4, K5 and K6 samples)**

T a b e l a 3. Stabilność termiczna makroinicjatora MBP-PUR-MBP i kopolimerów trójblokowych

T a b l e 3. Thermal stability of MBP-PUR-MBP macroinitiator and tri-block copolymers

Symbol próbki	I etap degradacji		II etap degradacji		III etap degradacji		Sumaryczny ubytek masy, %
	ubytek masy, %	T, °C	ubytek masy, %	T, °C	ubytek masy, %	T, °C	
MBP-PUR-MBP	8,2	162	48,5	282	39,2	438	95,9
K1	—	—	18,4	316	77,6	405	96,0
K2	—	—	13,6	317	83,6	405	97,2
K3	—	—	13,7	317	84,2	408	97,9
K4	—	—	13,3	318	85,1	411	98,4
K5	—	—	14,1	320	85,2	421	99,3
K6	—	—	14,2	330	85,5	423	99,7



Rys. 4. Obrazy powierzchni próbek kopolimerów: a) K1, b) K2, c) K3, d) K4, e) K5, f) K6

Fig. 4. Pictures of the surface of copolymer samples: a) K1, b) K2, c) K3, d) K4, e) K5, f) K6

**T a b l e 4.** Wartości katów zwilżania ( $\Theta$ ), parametrów SEP wyznaczonych metodami van Oss-Gooda i Owensa-Wendta oraz parametrów chropowatości folii kopolimerów uretanowo-styrenowych

**T a b l e 4.** Values of contact angles ( $\Theta$ ), parameters of SFE calculated by van Oss-Gooda and Owens-Wendt methods and roughness parameters for urethane-styrene copolymer films

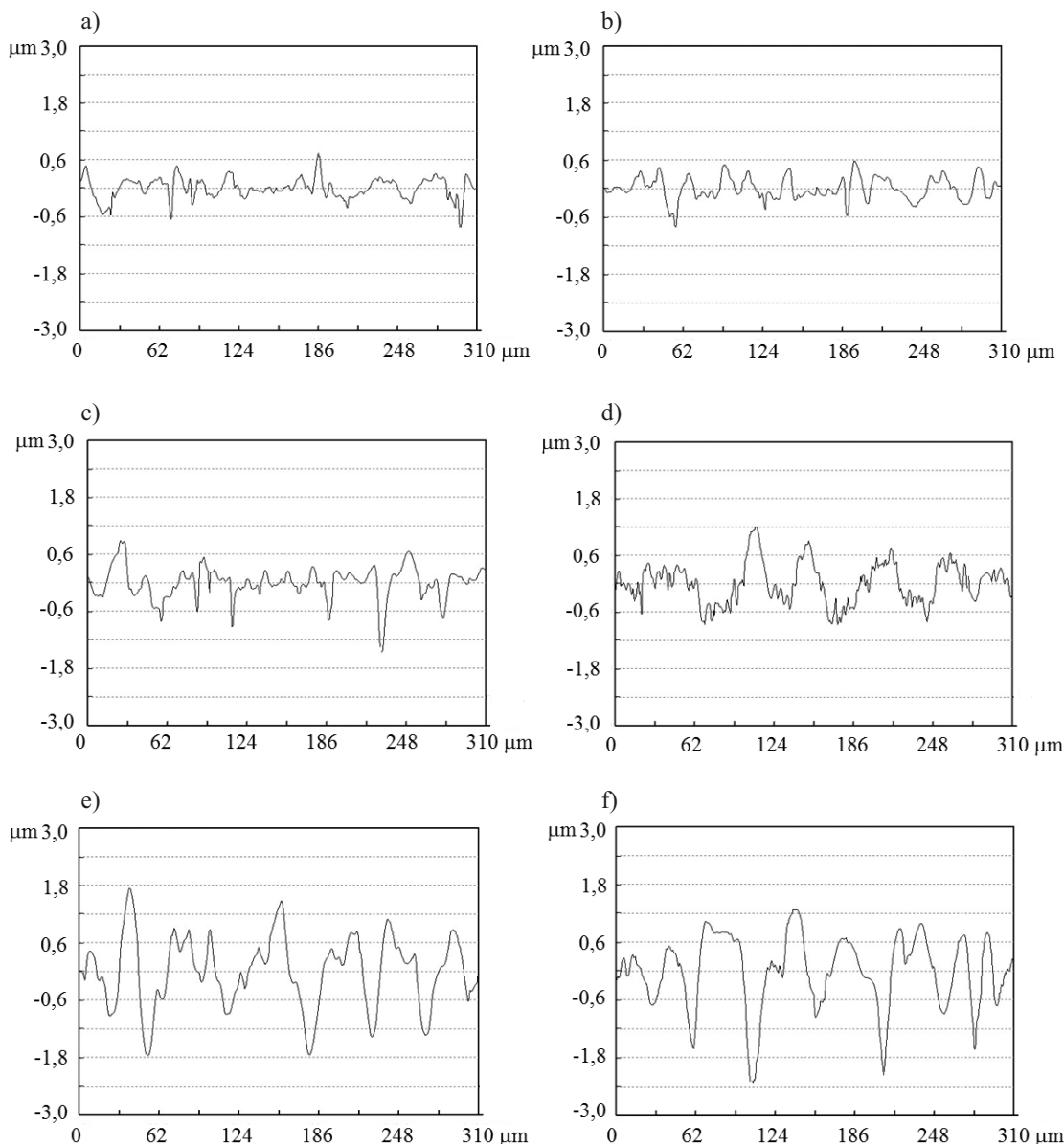
Symbol probki wg [1]	Średni kat zwilżania $\Theta$ , ° (odchylenie standardowe)		Parametry swobodnej energii powierzchniowej, mJ/m <sup>2</sup> (odchylenie standardowe)		Parametry chropowatości μm	
	Metoda van Oss-Gooda		Metoda Owensa-Wendta			
	dijodometan	formamid	woda	ciecz pomiarowa	dijodometan-formamid-woda	dijodometan-formamid
K1	54,67 (2,14)	75,08 (1,74)	42,78 (0,45)	0,03 (0,00)	8,11 (0,00)	0,91 (0,45)
K2	56,29 (0,58)	77,57 (1,49)	42,25 (0,12)	0,02 (0,00)	5,91 (0,10)	0,73 (0,12)
K3	58,28 (1,39)	80,14 (2,87)	41,35 (1,83)	0,03 (0,27)	4,44 (0,11)	0,69 (0,01)
K4	61,57 (1,73)	91,51 (1,12)	40,85 (1,91)	0,02 (0,35)	0,95 (0,00)	0,28 (0,02)
K5	64,46 (1,93)	94,63 (1,72)	39,78 (0,54)	0,04 (0,38)	0,36 (0,00)	0,22 (0,00)
K6	67,27 (2,30)	95,94 (1,20)	39,00 (1,54)	0,02 (0,42)	0,18 (0,00)	0,11 (0,00)
					43,72 (0,01)	4,74 (0,13)
					39,00 (0,08)	43,74 (0,05)
					2,43 (0,07)	4,74 (0,02)
					41,29 (0,19)	4,74 (0,14)
					42,73 (0,08)	42,93 (0,07)
					38,54 (0,05)	42,93 (0,07)
					38,29 (0,05)	42,08 (0,10)
					38,29 (0,17)	42,08 (0,10)
					40,09 (0,10)	41,08 (0,13)
					40,09 (0,17)	41,08 (0,13)
					40,09 (0,16)	41,08 (0,02)
					39,60 (0,19)	40,18 (0,15)
					0,47 (0,01)	0,37 (0,01)
					39,81 (0,14)	40,18 (0,15)
					39,13 (0,21)	39,15 (0,16)
					38,91 (0,01)	0,24 (0,01)
					39,13 (0,22)	0,617 (0,17)
					43,74 (0,16)	3,020 (0,17)

Z zarejestrowanych termogramów DTG wynika, że rozkład termiczny makroinicjatora MBP-PUR-MBP w atmosferze azotu zachodzi w 3 etapach. Pierwszy etap rozkładu termicznego jest inicjowany w segmentach sztywnych ugrupowanych pochodzących od inicjatora procesu ATRP – rozkładowi ulegają najsłabsze wiązania w cząstecze HMB (wiązania kowalencyjne pomiędzy IV-rzędowym atomem C a atomem Br o energii rzędu ~333 kJ/mol [18]). Etap drugi to degradacja grup uretanowych w segmentach sztywnych, a etap trzeci to rozkład grup eterowych w segmentach elastycznych. Rozkład termiczny próbek kopolimeru zachodzi w dwóch etapach, przy czym ich całkowita stabilność termiczna jest zdecydowanie większa niż makroinicjatora MBP-PUR-MBP. Pierwszy etap rozkładu termicznego to degradacja segmentów sztywnych pochodzących od grup uretanowych, podczas gdy etap drugi jest związany z rozkładem grup eterowych w segmentach elastycznych i bloków styrenowych w segmentach sztywnych, co wynika z przypadkowych fragmentacji łańcucha polimeru. Z danych literaturowych wiadomo, że degradacja termiczna PS w atmosferze azotu zachodzi w temp. 300 °C, zainicjowana rozpadem homolitycznym wiązań C-H na rodnniki, co zapoczątkowuje kolejne etapy rozpadu wiązań z wydzieleniem cząsteczek styrenu [19, 20]. Ponadto wraz ze wzrostem zawartości segmentów PS w otrzymanych kopolimerach następuje zwiększenie wartości temp., w której szybkość ubytku masy osiąga maksimum, co dodatkowo potwierdza wzrost ich stabilności termicznej.

Z badań wynika, że obecność w syntetyzowanym kopolimerze fragmentu strukturalnego pochodzącego od HMB (stanowiącego łącznik segmentów uretanowych i styrenowych) nie obniża, jak można by sądzić, dobrej odporności termicznej tego typu materiałów. W temp. ok. 500 °C proces degradacji kopolimerów K1–K6 zostaje już praktycznie całkowicie zakończony, natomiast masa próbek nie maleje do zera (tabela 3), co świadczy o obecności zanieczyszczeń nieorganicznych – prawdopodobnie tlenków miedzi, pochodzących od stosowanego katalizatora polimeryzacji ( $CuBr_2$ ).

### Właściwości powierzchniowe folii kopolimerowych

Zmiany chropowatości wytworzonych powłok kopolimerowych, obserwowane za pomocą laserowego mikroskopu konfokalnego, należy wiązać z morfologią ich powierzchni, wynikającą głównie z obecności fazy twardej, zawierającej przede wszystkim sztywne segmenty uretanowe i styrene nowe (rys. 4 i 5, tabela 4).



Rys. 5. Profile chropowatości powierzchni próbek kopolimerów: a) K1, b) K2, c) K3, d) K4, e) K5, f) K6  
Fig. 5. Surface roughness profiles of copolymers samples: a) K1, b) K2, c) K3, d) K4, e) K5, f) K6

Zróżnicowana morfologia analizowanych kopolimerów jest prawdopodobnie wynikiem większej separacji fazowej ogólnie polarnych segmentów poliuretanowych i zdecydowanie bardziej hydrofobowych segmentów PS. Przysłania to, typową dla elastomerów uretanowych, separację elastycznych segmentów poliolowych i sztywnych segmentów uretanowych. Obrazy powierzchni powłok wytworzonych z próbek kopolimerów K1, K2 i K3 o zawartości, odpowiednio, ok. 12–14 %, 21–22 % i 36–37 % mol segmentów PS (rys. 4a–c) wskazują na niższe wartości parametrów chropowatości ( $R_a = 0,171\text{--}0,235 \mu\text{m}$ ,  $R_z = 1,031\text{--}1,601 \mu\text{m}$ ) w porównaniu z próbками kopolimerów K4, K5 i K6 (rys. 4d–f), o wyraźnie większej zawartości PS, odpowiednio, o ok. 45–46 %, 54–55 % i 58–59 % mol ( $R_a = 0,369\text{--}0,617 \mu\text{m}$ ,  $R_z = 2,450\text{--}3,020 \mu\text{m}$ ). Wyniki te wskazują, że właśnie sztywne segmenty polistyrenowe tworzą skupisko fazy twardej ulokowanej na powierzchni folii polimerowej. Sposób obliczania % mol segmentów PS omówiono w Cz. I publikacji [1].

Dodatkowe informacje wnoszą pomiary *SEP*. Kształt powierzchni – chropowatość i postać fizyczna – wytworzonych folii pozwoliła na prawidłowe wyznaczenie kątów zwilżania ( $\Theta$ ) i, na ich podstawie, parametrów *SEP* wg modeli van Ossa-Gooda i Owensa-Wendta (tabela 4).

Mozna zaobserwować wzrost wartości kątów zwilżenia zarówno ciecą polarną (wodą i formamidem) jak i ciecą apolarną (dijodometylem), wraz z rosnącą zawartością segmentów PS. Wartość *SEP* zmniejsza się wraz z przedłużaniem łańcucha makroinicjatora poliuretanowego za pomocą większej ilości segmentów PS. Przedstawione dane sugerują, że o całkowitej wartości *SEP* ( $\gamma_S$ ) kopolimerów decyduje głównie wartość składowej związanej z oddziaływaniami dalekiego zasięgu –

dyspersyjnymi, polarnymi i indukcyjnymi ( $\gamma_s^{LW}$ ). Składowej kwasowo-zasadowej ( $\gamma_s^{AB}$ ) nie można było dokładnie wyznaczyć, ale oszacowano jej wartość w przedziale 0,1–0,9 mJ/m<sup>2</sup>, z dominującym udziałem oddziaływań zasadowych ( $\gamma_s^d$ ). Natomiast model Owensa-Wendta wskazuje, że o wartości  $\gamma_s$  powierzchni tych kopolimerów w dużym stopniu decydują oddziaływanie dyspersyjne ( $\gamma_s^d$ ). Wzrost zawartości segmentów PS przyczynia się do zmniejszenia wartości  $\gamma_s$  (głównie z powodu zmniejszania się wartości składowej ( $\gamma_s^p$ )).

Analizowane folie otrzymane z kopolimerów uretanowo-styrenowych charakteryzują się wartościami  $\gamma_s > 39 \text{ mJ/m}^2$ , są więc materiałami względnie polarnymi [21]. Wzrost zawartości segmentów PS przyczynia się jednak do zmniejszenia SEP, a tym samym do wzrostu hydrofobowości, co jest zgodne z zasadniczym celem tej pracy — opracowaniem syntezy powłok poli(uretanowo-styrenowych) charakteryzujących się większą hydrofobowością. SEP homopolimeru PS wynosi 38–41 mJ/m<sup>2</sup> [22, 23], natomiast SEP powłoki elastomeru uretanowego syntetyzowanego z udziałem MDI, PTMG i butano-1,4-dioli – ok. 43 mJ/m<sup>2</sup> [8].

## PODSUMOWANIE

Metodami spektroskopowymi FT-IR, <sup>1</sup>H i <sup>13</sup>C NMR oraz metodami analizy termicznej (DSC i TGA) zweryfikowano oczekiwana budowę chemiczną syntetyzowanych kopolimerów uretanowo-styrenowych oraz potwierdzono obustronne wbudowanie segmentów PS do łańcucha makroinicjatora PUR. Właściwości powierzchniowe folii kopolimerowych również potwierdzają obecność segmentów PS w powstałych kopolimerach trójbłokowych.

Metodą DSC stwierdzono obecność dwóch obszarów: przemiany zeszklenia zachodzącej w fazie miękkiej (polieterowej) oraz w obrębie fazy sztywnej (PS), co świadczy o ograniczonej mieszałności termodynamicznej segmentów sztywnych i giętkich, tworzących łańcuchy w uzyskanych kopolimerach. Badania degradacji termicznej metodą TGA wykazały, że rozkład makroinicjatora przebiega w trzech etapach, natomiast rozkład kopolimerów w dwóch etapach oraz, że całkowita stabilność termiczna kopolimerów jest większa od stabilności odpowiadających im makroinicjatorów.

Chropowatość otrzymanych powłok zależy od ich składu chemicznego i spowodowana jest obecnością twardzej fazy zawierającej w przewadze sztywne segmenty uretanowe i styrenowe. Oznaczenia kątów zwilżania filmów kopolimerów cieczami wzorcowymi o różnej polarności i obliczenia na ich podstawie SEP wg modeli Owensa-Wendta oraz van Ossa-Gooda potwierdziły oczekiwany hydrofobizujący wpływ segmentów PS.

*Autorzy składają podziękowania Panu mgr. inż. Ireneuszowi Niemcowi, dyrektorowi marketingu i sprzedaży firmy NANO-FOCUS AG, za umożliwienie przeprowadzenia badań po-*

*wierzchni wytworzonych powłok kopolimerowych przy użyciu mikroskopu konfokalnego.*

## LITERATURA

- [1] Król P., Chmielarz P.: *Polimery* **2015**, 5, 316. <http://dx.doi.org/10.14314/polimery.2015.316>
- [2] Król P., Chmielarz P.: *Progress in Organic Coatings* **2014**, 77, 913. <http://dx.doi.org/10.1016/j.porgcoat.2014.01.027>
- [3] Król P., Chmielarz P.: *Polimery* **2011**, 56, 429.
- [4] Dong H., Matyjaszewski K.: *Macromolecules* **2008**, 41, 6868. <http://dx.doi.org/10.1021/ma8017553>
- [5] Verma H., Kannan T.: *Polymer Journal* **2008**, 40, 867. <http://dx.doi.org/10.1295/polymj.PJ2007236>
- [6] Castner D.G., Ratner B.D.: *Surface Science* **2002**, 500, 28. [http://dx.doi.org/10.1016/S0039-6028\(01\)01587-4](http://dx.doi.org/10.1016/S0039-6028(01)01587-4)
- [7] Tharanikkarasu K., Verma H., Jang W. et al.: *Journal of Applied Polymer Science* **2008**, 108, 1538. <http://dx.doi.org/10.1002/app.27642>
- [8] Król P., Chmielarz P., Król B., Pielińska K.: *Polish Journal of Chemical Technology* **2014**, 16, 16. <http://dx.doi.org/10.2478/pjct-2014-0024>
- [9] Król P., Chmielarz P.: *eXPRESS Polymer Letters* **2013**, 7, 249. <http://dx.doi.org/10.3144/expresspolymlett.2013.23>
- [10] Król P., Chmielarz P.: *Polimery* **2014**, 59, 279. <http://dx.doi.org/10.14314/polimery.2014.279>
- [11] Król P., Król B., Chmielarz P., Wojturska J.: *Polimery* **2013**, 58, 282. <http://dx.doi.org/10.14314/polimery.2013.282>
- [12] Król B., Król P., Pilus S. et al.: *Colloid and Polymer Science* **2010**, 288, 1255. <http://dx.doi.org/10.1007/s00396-010-2244-4>
- [13] Król P., Pilch-Pitera B.: *Polymer* **2003**, 44, 5075. [http://dx.doi.org/10.1016/S0032-3861\(03\)00431-2](http://dx.doi.org/10.1016/S0032-3861(03)00431-2)
- [14] Lapprand A., Boisson F., Delolme F. et al.: *Polymer Degradation and Stability* **2005**, 90, 363. <http://dx.doi.org/10.1016/j.polymdegradstab.2005.01.045>
- [15] Nayak S., Verma H., Tharanikkarasu K.: *Colloid and Polymer Science* **2010**, 288, 181. <http://dx.doi.org/10.1007/s00396-009-2149-2>
- [16] Jastrzębska M., Rutkowska M., Janik H.: *Polimery* **2002**, 47, 837.
- [17] Brostow W., Castano V.M., Horta J. et al.: *Polimery* **2004**, 49, 9.
- [18] Tang B., Zhang B.: *Chemical Physics Letters* **2005**, 412, 145. <http://dx.doi.org/10.1016/j.cplett.2005.06.012>
- [19] Horrocks A.R., Price D.: „Fire Retardant Materials”, Wooden Publishing Ltd. and CRC Press LLC, Washington 2001, pp. 1–68.
- [20] Wiącek M., Schab-Balcerzak E.: *Polimery* **2013**, 58, 181. <http://dx.doi.org/10.14314/polimery.2013.181>
- [21] Król P., Król B.: *Polimery* **2012**, 57, 799. <http://dx.doi.org/10.14314/polimery.2012.799>
- [22] Lewin M., Mey-Marom A., Frank R.: *Polymers for Advanced Technologies* **2005**, 16, 429. <http://dx.doi.org/10.1002/pat.605>
- [23] Kumar R.: *Polimery* **2007**, 52, 336.

Otrzymano 10 VII 2014 r.